

ПЕРЕХОД  
БЕРЕЗИНСКОГО–КОСТЕРЛИЦА–ТАУЛЕСА  
И СЦЕНАРИИ ПЛАВЛЕНИЯ ДВУМЕРНЫХ СИСТЕМ

*B. H. Рыжов \*, E. A. Гайдук,  
E. E. Тареева, Ю. Д. Фомин, Е. Н. Циок*

Институт физики высоких давлений им. Л. Ф. Верещагина РАН,  
Троицк, Россия

Обсуждаются современные теории плавления двумерных систем, базирующиеся в основном на представлениях теории Березинского–Костерлица–Таулеса фазовых переходов в двумерных системах с непрерывной симметрией. В настоящее время существуют три основных сценария плавления двумерных кристаллов, которые, как показано в рамках компьютерного моделирования, реализуются в двумерной системе сфер Герца, применяемых для описания поведения ряда систем мягкой материи. Система показывает сложное фазовое поведение с наличием всех трех сценариев плавления в различных областях фазовой диаграммы.

The article discusses modern theories of melting of two-dimensional systems based mainly on the representations of the Berezinskii–Kosterlitz–Thouless theory of phase transitions in two-dimensional systems with continuous symmetries. Currently, there are three main scenarios of two-dimensional crystals melting. In the framework of computer simulation, it is shown that these scenarios are realized in a two-dimensional system of Hertz spheres used to describe the behavior of a number of systems of soft matter. The system exhibits complex phase behavior with all three melting scenarios in different areas of the phase diagram.

PACS: 02.70.Ns; 05.70.Ln; 64.10.+h; 64.60.Ej; 64.70.D

При изучении так называемой мягкой материи (soft matter), включающей растворы протеинов, полимеры, коллоиды, пылевую плазму и т. д., в определенной степени возобновился интерес к статистической механике систем, описываемых достаточно простыми изотропными эффективными потенциалами, которые хорошо подходят для использования их в рамках методов

---

\*E-mail: ryzhov@hppi.troitsk.ru

компьютерного моделирования. Предсказание свойств данных систем возможно в основном только с использованием эффективных потенциалов, которые определяют структуру мягкой материи, ее коллективную динамику и термодинамику.

Фазовые диаграммы для эффективных потенциалов могут качественно отличаться от фазовых диаграмм стандартных молекулярных систем типа инертных газов. В данной работе обсуждается поведение систем с изотропными модельными ограниченными потенциалами типа потенциала Герца, которые могут быть применены для качественного описания коллоидов, полимерных глобул, звездообразных полимеров. По сравнению со стандартными потенциалами в данных системах кардинальным образом меняется и усложняется вид фазовой диаграммы — появляются в большом количестве новые кристаллические фазы, максимумы и минимумы на кривой плавления, стекольные состояния, а также аномальное поведение в жидкой фазе, которое соответствует хорошо известным водоподобным аномалиям [1, 2]. Особый интерес вызывает поведение систем с ограниченными потенциалами в двух измерениях. В этом случае в системе не только наблюдаются разнообразные кристаллические фазы и аномалии в жидкой фазе, но и появляется удивительная возможность наблюдать различные сценарии плавления в разных областях фазовой диаграммы.

Плавление двумерных систем подробно рассмотрено в недавнем обзоре [3] (см. также [4, 5]). В отличие от трехмерных систем, которые в силу симметрийных соображений всегда плавятся посредством одного перехода первого рода, сильно развитые флуктуации в двух измерениях принципиально меняют возможные сценарии плавления.

Как известно, кристаллическая фаза отличается от изотропной жидкости наличием двух нарушенных симметрий — трансляционной и ориентационной. Пайерлс, Ландау [6, 7], а позднее, основываясь на теореме Боголюбова [8], и Мермин [9, 10] показали, что в двух измерениях дальний кристаллический (трансляционный) порядок не может существовать из-за термодинамических флуктуаций и трансформируется в квазидальний, характеризуемый медленным степенным убыванием корреляций параметра порядка. В тоже время настоящий дальний ориентационный порядок (порядок в ориентациях «связей», соединяющих молекулу с ее ближайшими соседями) действительно существует в двух измерениях, как впервые было отметил Мермин [10] (см. также [3]). При этом при высоких температурах существует обычная изотропная жидкость.

В работах Березинского, Костерлица и Таулеса [11, 12]) (см. также [3, 5]) было показано, что квазидальний порядок в двумерных вырожденных системах, к которым относятся и двумерные кристаллы, разрушается в результате диссоциации связанных топологических дефектов. В случае  $X-Y$ -модели, например, это вихри. Еще в первоначальной работе [12] Костерлиц и Таулес

отметили, что двумерный кристалл должен плавиться посредством диссоциации дислокационных пар, которые в данном случае являются топологическими дефектами. При наличии квазидальнего трансляционного порядка эти дефекты хорошо определены.

Диссоциация дислокационных пар, приводящая к плавлению при температуре  $T_m$  и являющаяся аналогом диссоциации вихрь–антивихрь при стандартном переходе Березинского–Костерлица–Таулеса, происходит при условии [12, 13, 15]

$$k_B T_m = \frac{Ka_0^2}{16\pi}, \quad (1)$$

где  $a_0$  — период рассматриваемой треугольной решетки;  $K = \frac{4\mu(\mu + \lambda)}{(2\mu + \lambda)}$  — модуль Юнга,  $\mu$  и  $\lambda$  — коэффициенты Ламе [3]. Характеризующая квазидальный трансляционный порядок корреляционная функция плотность–плотность  $G_T(r)$  имеет вид

$$G_T(r) \propto r^{-\eta_T(T)}, \quad (2)$$

где показатель  $\eta_T$  ниже температуры плавления  $T_m$  имеет значения  $\eta_T(T_m) \leq 1/3$ ,  $\eta_T(T_m) = 1/3$  соответствует неустойчивости кристаллической фазы по отношению к диссоциации дислокационных пар. Пик теплоемкости находится выше  $T_m$ , при этом форма пика зависит от вида модели.

Так как в двумерном кристалле кроме квазидальнего трансляционного порядка существует дальний ориентационный порядок, то, как заметили позднее Хальперин и Нельсон [13, 14], жидкость выше точки диссоциации дислокационных пар оказывается неизотропной. Они установили, что диссоциация дислокационных пар не полностью разрушает дальний ориентационный порядок, а только превращает его в квазидальный [3]. Получающаяся в результате новая фаза получила название «гексатической» по аналогии с жидкими кристаллами, однако в отличие от жидких кристаллов она реализуется в системах с изотропными потенциалами. В рамках достаточно грубой аналогии гексатическую фазу можно представить как упорядоченную систему шестиугольных кластеров, состоящих из молекулы и ее шести ближайших соседей. При этом корреляционная функция ориентационного параметра порядка для системы шестиугольников спадает с расстоянием по степенному закону (квазидальный ориентационный порядок). В гексатической фазе существуют свободные дислокации, поэтому ее модуль сдвига равен нулю, т. е. она представляет собой жидкость с элементами упорядочения. Дислокацию можно представить в виде связанной пары двух дисклиниаций. Гексатическая фаза превращается в обычную изотропную жидкость в результате перехода Березинского–Костерлица–Таулеса (БКТ) посредством диссоциации дисклинических пар.

Хальперин и Нельсон [14] предложили рассматривать в качестве феноменологического ориентационного параметра порядка для треугольной решетки

величину

$$\psi(\mathbf{r}) = e^{6i\vartheta(\mathbf{r})}, \quad (3)$$

где  $\vartheta(\mathbf{r})$  — ориентация связи между двумя ближайшими соседями по отношению к некоторой фиксированной оси. Квазидальний порядок при температуре выше  $T_m$  характеризуется степенным убыванием корреляций:

$$G_6(r) \propto r^{-\eta_6(T)}. \quad (4)$$

Для описания длинноволновых флуктуаций в анизотропной жидкости они ввели феноменологический гамильтониан, аналогичный гамильтониану  $X-Y$ -модели [14]:

$$H_A = \frac{1}{2}K_A(T) \int d^2r (\nabla \vartheta(\mathbf{r}))^2, \quad (5)$$

где константа Франка  $K_A(T)$  связана с  $\eta_6$  следующим соотношением:

$$\eta_6(T) = \frac{18k_B T}{\pi K_A(T)}. \quad (6)$$

Диссоциация дисклинационных пар происходит при  $T_i > T_m$ . Уравнение для определения  $T_i$  имеет вид

$$T_i = \frac{\pi K_A(T_i)}{72k_B T_i}, \quad (7)$$

при этом  $\eta_6(T_i) = 1/4$ . Это значение показателя соответствует температуре неустойчивости гексатической фазы по отношению к образованию изотропной жидкости.

Представленная теория носит название теории Березинского–Костерлица–Таулеса–Хальперина–Нельсона–Янга (БКТХНЯ). В рамках этой теории двумерный кристалл должен плавиться посредством двух непрерывных переходов типа БКТ с промежуточной гексатической фазой.

Теория БКТХНЯ долгое время была наиболее популярной и породила большое количество как экспериментальных, так и теоретических работ, основанных на компьютерном моделировании (см. соответствующие ссылки в работе [3]). В настоящее время можно с достаточной степенью уверенности, опираясь как на эксперимент, так и на компьютерное моделирование [16], утверждать, что системы с дальнодействующим взаимодействием (например, кулоновское или диполь–дипольное взаимодействие, мягкие сферы  $1/r^n$  с показателем  $n \leq 6$ ) плавятся в соответствии со сценарием БКТХНЯ.

В то же время стандартный переход первого рода также может реализоваться. Возможные механизмы подобного перехода предложены, например,

в работах [3, 17, 18], при этом оказалось, что ведущую роль в определении характера перехода играет величина энергии ядра топологического дефекта (дислокации): при малой энергии ядра двумерное плавление может происходить как переход первого рода в результате, например, образования границ зерен [17] или диссоциации дисклинационных квадруполей [18]. В рамках метода функционала плотности в теории кристаллизации было показано, что сценарий плавления зависит от вида межмолекулярного потенциала [19–24], однако детальное описание зависимости сценариев двумерного плавления от вида потенциала в большинстве случаев требует использования методов компьютерного моделирования [3].

Вместе с тем в последнее время был предложен еще один сценарий [16, 25, 26], в соответствии с которым переход из кристалла в гексатическую фазу является непрерывным переходом типа БКТ, в то время как гексатическая фаза переходит в изотропную жидкость в результате перехода первого рода. Данный сценарий, видимо, справедлив для систем мягких сфер  $1/r^n$  при  $n > 6$  [16, 27], включая двумерную систему твердых сфер [28]. Как обсуждалось в работе [3], в настоящее время отсутствует последовательная теория перехода первого рода гексатик – изотропная жидкость. Возможный механизм состоит в том, что переход БКТ может стать переходом первого рода при уменьшении энергии ядра топологического дефекта [29–31].

Следует отметить, что в данный момент нет четких теоретических критериев, позволяющих однозначно определить, исходя из вида потенциала, по какому сценарию пойдет плавление. При этом следует учесть тот факт, что теория БКТХНЯ, так же как и компьютерное моделирование мягких сфер [16, 27] и эксперименты с двумерными твердыми сферами [28], относились к треугольной кристаллической решетке. Однако в последнее время были обнаружены двумерные системы с квадратными и более сложными решетками, для исследования сценариев плавления которых существующие теории могут быть применены только условно. Более того, как обсуждалось в [27, 32], случайный пиннинг способен изменить сценарий плавления и превратить переход первого рода в двухстадийное плавление с непрерывным переходом из кристалла в гексатическую фазу и переходом первого рода из гексатической фазы в изотропную жидкость. Таким образом, изучение связи между формой межчастичного потенциала и существованием гексатической фазы является интересной задачей, которая пока далека от однозначного решения.

Для построения фазовой диаграммы и определения сценария плавления для конкретной двумерной системы решали уравнения состояния, которые отличаются в случае двух непрерывных переходов с промежуточной гексатической фазой (в этом случае в области плавления наблюдается монотонно возрастающее поведение уравнения состояния) и перехода первого рода, при котором уравнение состояния содержит петли Майера–Вуда (двумерный аналог петли Ван дер Ваальса), которые с помощью построения Максвелла по-

зволяют определить двухфазную область. Кроме того, рассчитываются трансляционный и ориентационный параметры порядка, а также их корреляционные функции (2) и (4), из которых определяются пределы устойчивости кристаллической и гексатической фаз [33–37]. Граница устойчивости гексатической фазы может быть определена из поведения ориентационной корреляционной функции  $G_6(r) \propto r^{-\eta_6}$ , показатель степени которой при переходе гексатик – изотропная жидкость должен удовлетворять условию  $\eta_6 = 1/4$ , в то время как трансляционная корреляционная функция при переходе кристалл-гексатик также убывает степенным образом  $G_T(r) \propto r^{-\eta_T}$  с показателем, равным  $\eta_T = 1/3$ .

В рамках предложенного подхода рассмотрим поведение сценариев двумерного плавления системы с потенциалом Герца [37], который имеет вид

$$U(r) = \begin{cases} \varepsilon(1 - r/\sigma)^{5/2}, & r \leq \sigma, \\ 0, & r > \sigma. \end{cases} \quad (8)$$

Этот потенциал соответствует энергии деформации упругих шаров при одностороннем сжатии. Параметр  $\varepsilon$  связан с упругими характеристиками шаров следующим образом:  $\varepsilon = (2/15)E\sigma^3/(1 - \nu^2)$ , где  $E$  — модуль Юнга, а  $\nu$  — коэффициент Пуассона материала шаров. Строго говоря, потенциал (8) применим только при малых деформациях и не может использоваться при больших сжатиях и плотностях, однако оказалось, что его можно использовать для качественного описания поведения мягких незаряженных макромолекул, таких как полимерные глобулы и звездообразные полимеры.

Для определения примерных границ существования фаз методом молекулярной динамики изучались уравнения состояния системы, радиальные функции распределения и дифракционные картины. На рис. 1 показана по-

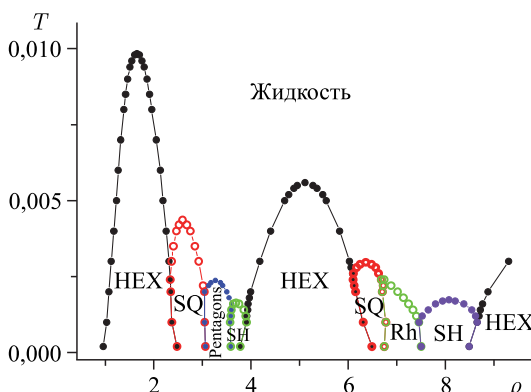


Рис. 1. Фазовая диаграмма двумерной системы сфер Герца: HEX — треугольная фаза; SQ — квадратная; Pentagons — додекагональный квазикристалл; SH — треугольная фаза, вытянутая в одном направлении; Rh — ромбоэдрическая

лученная фазовая диаграмма. Отметим, что скачки плотности в двумерных системах, как правило, очень малы, поэтому ширина двухфазной области оказывается меньше размера символов. Видно, что полученная фазовая диаграмма чрезвычайно сложна. Она характеризуется наличием большого коли-

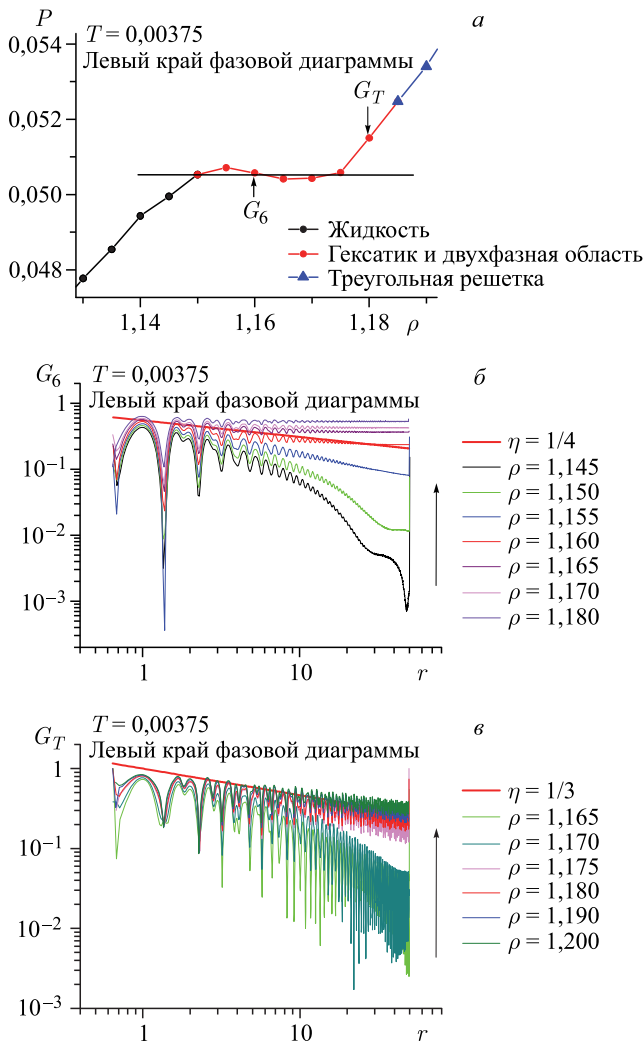


Рис. 2. *a*) Уравнение состояния системы сфер Герца при  $T = 0,00375$  при пересечении линий плавления в сторону уменьшения плотностей. *б*) Корреляционная функция ориентационного параметра порядка вдоль той же изотермы. *в*) Корреляционная функция трансляционного параметра порядка вдоль той же изотермы

чества разных фаз, включая такие сложные структуры, как, например, додекагональный квазикристалл. Сценарии плавления треугольного и квадратного кристаллов с низкой плотностью рассчитывались из уравнения состояния, ориентационного и трансляционного параметров порядка и их корреляционных функций. Рассмотрим сначала плавление левой ветви треугольного кристалла (см. рис. 1). На рис. 2, *a* показана изотерма системы при движении из кристалла в жидкость. На эту изотерму нанесены точки потери устойчивости кристалла и гексатика, полученные из условий  $\eta_T = 1/3$  (для показателя степени трансляционной корреляционной функции) и  $\eta_6 = 1/4$  (для показателя степени ориентационной корреляционной функции), показанных на рис. 2, *б*, *в*. Из полученных результатов можно сделать вывод, что переход из кристалла в гексатик является непрерывным, тогда как переход из гексатика в жидкость — переходом первого рода.

При рассмотрении плавления правой ветви треугольного кристалла с низкой плотностью наблюдается другая картина (рис. 3, *a*, *б*). Как видно из ри-

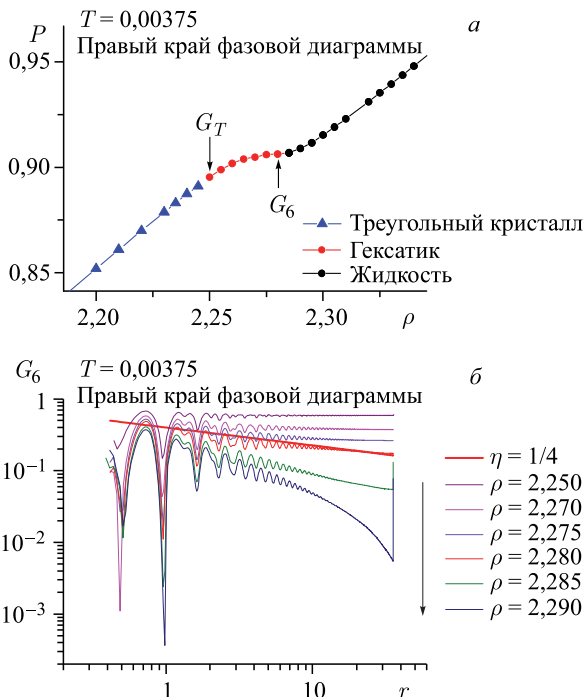


Рис. 3. *а*) Уравнение состояния системы сфер Герца при  $T = 0,00375$  при пересечении линии плавления в сторону увеличения плотностей. *б*) Корреляционная функция ориентационного параметра порядка вдоль той же изотермы. Корреляционная функция трансляционного параметра порядка, аналогичная показанной на рис. 2, *в*

сунков, правая ветвь треугольного кристалла плавится в соответствии со сценарием БКТХНЯ.

При рассмотрении аналогичным образом плавления квадратного кристалла выяснилось, что плавление левой и правой ветвей происходит по разным сценариям: левая ветвь фазовой диаграммы плавится по третьему сценарию (переход БКТ из кристалла в тетратик и переход первого рода из тетратика в изотропную жидкость), тогда как правая — посредством одного перехода первого рода из кристалла в жидкость. Кроме того, оказалось, что между треугольной и квадратной решетками существует область аномального поведения плотности, подобная наблюдаемой в воде [37].

Таким образом, при двух измерениях в рамках одного и того же достаточно простого феноменологического потенциала удается получить широкий спектр физических свойств, включая сложную фазовую диаграмму с большим набором кристаллических структур, в том числе квазикристаллические состояния, аномальное поведение в жидкой фазе, а также удивительный факт, связанный с тем, что в различных областях фазовой диаграммы система может плавиться в соответствии с различными сценариями, что совершенно невозможно в случае трех измерений.

Авторы приносят благодарность В. В. Бражкину и Д. Френкелю за проявленный интерес к работе и полезные обсуждения различных аспектов темы.

Работа выполнена при поддержке Российского научного фонда (грант № 19-12-00092).

#### СПИСОК ЛИТЕРАТУРЫ

1. Fomin Yu. D., Ryzhov V. N., Gribova N. V. // Phys. Rev. E. 2010. V. 81. P. 061201.
2. Pamies J. C., Cacciuto A., Frenkel D. // J. Chem. Phys. 2009. V. 131. P. 044514.
3. Рыжов В. Н., Тареева Е. Е., Фомин Ю. Д., Циок Е. Н. // УФН. 2017. Т. 187. С. 921.
4. Рыжов В. Н. // УФН. 2017. Т. 187. С. 125.
5. Kosterlitz J. M. // Rep. Prog. Phys. 2016. V. 79. P. 026001.
6. Landau L. D. // Phys. Z. Sowjetunion. 1937. V. 11. P. 26.
7. Peierls R. E. // Helv. Phys. Acta. 1934. V. 7. P. 81.
8. Боголюбов Н. Н. Квазисредние в задачах статистической механики // Собр. науч. тр.: В 12 т. Т. VI. М.: Наука, 2006. 236 с.
9. Mermin N., Wagner H. // Phys. Rev. Lett. 1966. V. 17. P. 1133.
10. Mermin N. D. // Phys. Rev. 1968. V. 176. P. 250.
11. Березинский В. Л. // ЖЭТФ. 1970. Т. 59. С. 907.
12. Kosterlitz J. M., Thouless D. J. // J. Phys. C. 1973. V. 6. P. 1181.
13. Halperin B. I., Nelson D. R. // Phys. Rev. Lett. 1978. V. 41. P. 121.
14. Nelson D. R., Halperin B. I. // Phys. Rev. B. 1979. V. 19. P. 2457.
15. Young A. P. // Ibid. P. 1855.
16. Kapfer S. C., Krauth W. // Phys. Rev. Lett. 2015. V. 114. P. 035702.
17. Chui S. T. // Phys. Rev. B. 1983. V. 28. P. 178.

18. Рыжов В. Н. // ЖЭТФ. 1991. Т. 100. С. 1627.
19. Ryzhov V. N., Tareyeva E. E. // Phys. Lett. A. 1979. V. 75. P. 88.
20. Рыжов В. Н., Тареева Е. Е. // ТМФ. 1981. Т. 48. С. 416.
21. Ryzhov V. N., Tareyeva E. E. // Phys. Rev. B. 1995. V. 51. P. 8789.
22. Рыжов В. Н., Тареева Е. Е. // ЖЭТФ. 1995. Т. 108. С. 2044.
23. Ryzhov V. N., Tareyeva E. E. // Physica A. 2002. V. 314. P. 396.
24. Chumakov E. S., Fomin Y. D., Shangina E. L., Tareyeva E. E., Tsiok E. N., Ryzhov V. N. // Physica A. 2015. V. 432. P. 279.
25. Bernard E. P., Krauth W. // Phys. Rev. Lett. 2011. V. 107. P. 155704.
26. Engel M. et al. // Phys. Rev. E. 2013. V. 87. P. 042134.
27. Tsiok E. N., Fomin Y. D., Ryzhov V. N. // Physica A. 2018. V. 490. P. 819.
28. Thorne work A. L. et al. // Phys. Rev. Lett. 2017. V. 118. P. 158001.
29. Ryzhov V. N., Tareyeva E. E. // Phys. Rev. B. 1993. V. 48. P. 12907.
30. Ryzhov V. N., Tareyeva E. E. // Phys. Rev. B. 1994. V. 49. P. 6162.
31. Irz D. Y., Ryzhov V. N., Tareyeva E. E. // Phys. Rev. B. 1996. V. 54. P. 3051.
32. Tsiok E. N., Dudalov D. E., Fomin Yu. D., Ryzhov V. N. // Phys. Rev. E. 2015. V. 92. P. 032110.
33. Dudalov D. E., Fomin Yu. D., Tsiok E. N., Ryzhov V. N. // J. Phys.: Conf. Ser. 2014. V. 510. P. 012016.
34. Dudalov D. E., Fomin Yu. D., Tsiok E. N., Ryzhov V. N. // J. Chem. Phys. 2014. V. 141. P. 18C522.
35. Dudalov D. E., Fomin Yu. D., Tsiok E. N., Ryzhov V. N. // Soft Matter. 2014. V. 10. P. 4966.
36. Kryuchkov N. P., Yurchenko S. O., Fomin Yu. D., Tsiok E. N., Ryzhov V. N. // Soft Matter. 2018. V. 14. P. 2152.
37. Fomin Yu. D., Gaiduk E. A., Tsiok E. N., Ryzhov V. N. // Mol. Phys. 2018. V. 116. P. 3258.